

ダイラタンシー効果の補正法の比較と

若干の考察について（三軸試験の場合）

福岡大学工学部 正員 吉田信夫

○学生員 松永兼考

学生員 中川一良

1. まえがき

Mohr-Coulomb の破壊規準は不連続な粒子の集合体には厳密には適用できない。それはせん断にとらないダイラタンシー現象を生じるからである。この検討は Reynolds (1885) 以来多くの人によって亮明がなされてきていく。ダイラタンシー効果の補正法としては Bishop¹⁾, Newland & Allely²⁾, Row³⁾ の方法があり、わが国では最上⁴⁾が二面せん断試験機によりダイラタンシー効果を論じていい、赤井⁵⁾により三軸試験の場合における定量的な検討がおこなわれ、村山、松岡⁶⁾は粒子の接点傾斜角 θ によるダイラタンシー現象の微視的評価を試みている。

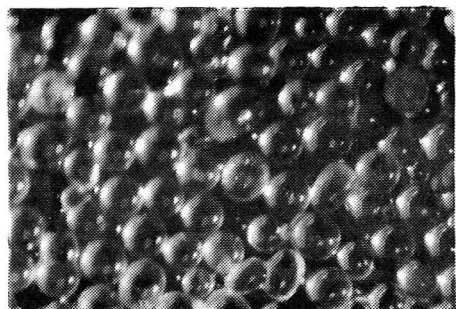
しかしダイラタンシー現象に影響をあたえる要因には、粒子のあらさ、粒子の形、粒子の偏平度、粒径、間隔、応力状態などがある。これらの文献については春山⁷⁾によりまとめられている。

ここではダイラタンシー現象に影響をあたえる各要因の大きさの割合を検討するためにはまず補正法として採用しようとする式の実験値への適合性の評価を目的とするものである。試験からえられた結果について P-E 曲線、内部摩擦角をあらわす ϕ とダイラタンシー現象を示す $\tan\theta$ について若干の考察を加えたものである。

なお、粒子の形状、材質を統一するためにはガラスビーズを試料として用いた。

2. 試料と実験装置

三軸試験に用いた試料は東芝製の研磨用のガラスビーズ GK で粒子の大きさは、0.074mm, 0.125mm, 0.250mm, 0.50mm, 2.0mm の 5 種類であり、これは土質工学会のせん断の一齊試験に用いられたものと同系統のものである。側圧 σ_3 は 0.5, 1.0, 1.5, 2.0 MPa の 4 段階に、間隔比は、所定の間隔比 (e_0) 3 段階に調整し、 ϕ をえた後での間隔比 (e_i) とした。ガラスビーズの比重は 2.52 でありその 0.5% の顕微鏡写真を右上に示す。



なお三軸圧縮試験は圧密排水試験でおこなう供試体の直径は 10 cm、高さ 20 cm である。

垂直荷重と軸方向変位は X-Y 記録計でとり、体積変化量はピュレット方式で測定した。荷重速度は 1 kN/min である。

3. 測定値の解説法

次に述べる Bishop, Newland & Allely, Row の方法で測定値を整理し、ダイラタンシー現象による強度成分と摩擦自体の強度成分に分けて比較をおこなうこととする。

[1] Bishop の方法

$$(\sigma_i - \sigma_r) = \sigma_3 \left(\frac{\delta V}{\delta V} \right)_{max} \quad (1)$$

[2] Newland & Attey の方法

$$\frac{\sigma_i}{\sigma_3} = \tan^2 \left(45^\circ + \frac{\phi_f}{2} + \frac{\theta}{2} \right) \quad (2)$$

ただし $\tan \theta = \frac{\sqrt{\sigma_i}}{\sigma_3} \cdot \left(\frac{\delta V}{\delta V} \right)_{max}$ ただし δV : 純体積膨脹量
 $1 + \frac{\sigma_i}{\sigma_3} + \left(\frac{\delta V}{\delta V} \right)_{max}$, δV : 軸方向における体積変化量

$$\theta = 0 \text{ の時には } \frac{\sigma_i''}{\sigma_3} = \tan^2 \left(45^\circ + \frac{\phi_f}{2} \right), \quad (3)$$
 θ : 粒子と粒子との傾斜角

[3] Row の方法

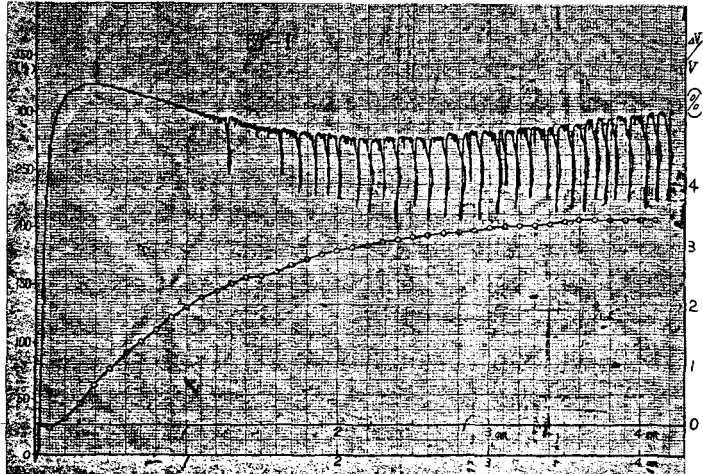
$$\frac{\sigma_i}{\sigma_3 (1 + \frac{\delta V}{\delta V})_{max}} = \tan^2 \left(45^\circ + \frac{\phi_f}{2} \right) \quad (4)$$
 ϕ_f : 内部摩擦角

4. 試験結果と 2~3 の考察

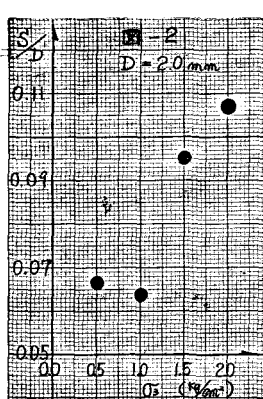
4-1. P-ε 曲線

ガラスビーズは単一粒径に調

整して実験をおこなうがそので
 いろいろな粒子の形状と粒度配
 合をもつて一般の砂とは異つて
 P-ε 曲線がえられぬ。このよ
 うな現象はすでに土質工学会せ
 ん断試験法委員会の“土のせん断
 試験法に関する基礎的研究”の中
 であげられてゐるものと同じで
 あり、また今回發表の直接受せん



試験においても観測されている。この代表的な P-ε 曲線 図-1 によれば P_{max} がえられるすこし
 から軸ひずみの進行に伴い粒子同志の詰まり具合による応力緩和の波が周期的に生じてくる。しか
 し全体としては軸荷重 P は増加の傾向をたどる。 P_{max} のうちにはこの軸ひずみの進行にともなう応力
 緩和の波の山と谷がしだいに深くなりサイクルをくり返しながら軸荷重 P は低下していく。さらに軸
 ひずみが大きくなると、急激な応力緩和が新しい長周期の波として生じてくる。これはかなり大きなすべりが供試体のなかに周期的に発生すること
 を示し、すべりが生じた直後にはすぐに粒子の再詰め合せがおこなわれ、
 P がまたある程度回復するものと考えられる。



いまこの大きさすべりの間隔を S として粒径 D との関連を検討してみる。
 自記録計からこの大きさすべりの間隔の平均値をまとめ S/D をえて軸
 心側圧を横軸にプロットしたのが図-2 である。これは直接せん断の場合
 とくらべて、 $D_3 = 1.0 \text{ mm}$ でやや低いが全体としては側圧に比例して、し
 べりに大きなすべりが規則的に生じていることになる。

4-2. ダイラタンシー補正法の比較

試験でえられた強度成分を粒子間の摩擦だけによる強度成分とダイラタンシー効果にちとづく強度成分とに分けて考える。

いま、(1)式でまとめられる Bishop による摩擦の強度成分を σ_R , Newland & Alley の(2)式でまとめられる値を (3)式に代入してえられた摩擦の強度成分を $\sigma_{R'}$ とする。 (4)式による Row の方法は Newland & Alley の値と一致するので省略する。一方、体積変化が終了すなわち $\frac{\partial \sigma}{\partial V}$ がゼロになると状態での応力を実験値でえられた摩擦の強度成分と考えてこれを σ_R とする。

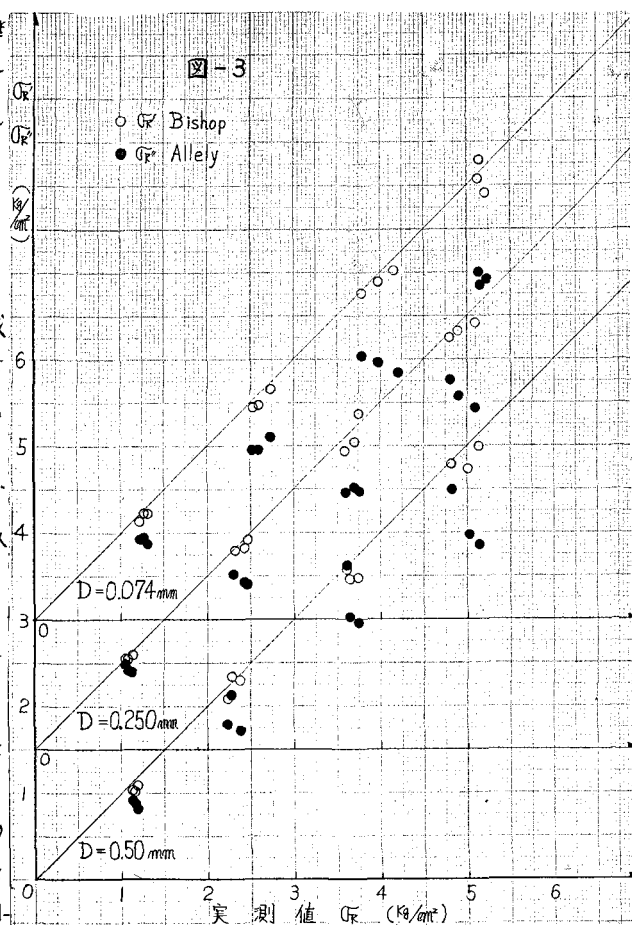
もし、(1), (3)式で計算した σ_R , $\sigma_{R'}$ と実測値 σ_R とが一致すれば、たて軸に σ_R , $\sigma_{R'}$, 横軸に σ_R をプロットした場合 45° 線上にのるのはずである。これららの値をガラスビーズの 0.074 mm, 0.250 mm, 0.50 mmについて示したのが図-3である。この結果 Bishop によるダイラタンシー補正法の(1)式が、Newland & Alley および Row の補正法(3), (4)式よりも適合性がよい。すなわち Bishop の方法では 45° の直線上にきれいにのろし、Newland & Alley では実測値にくらべて計算値 $\sigma_{R'}$ が低くなっている。このような結果は Newland & Alley の実験でも同じような傾向が示されている。また Bishop の方法は上述の実験では実測値より大きくなっているが、本実験では σ_R によく合うことが認められる。また側圧が増加しても Bishop の方法はよく実測値に適合するが、Newland & Alley の方法では側圧が増加するにともない σ_R よりもかなり過少の値となる傾向にある。同じ傾向が 0.125 mm と 2.0 mm にもみられる。

一方、直接せん断試験の場合には、せん断箱の側面抵抗があり Bishop , Newland & Alley 両者ともが実際の計算値よりも大きくなることになる。したがって、側面抵抗があるので Bishop の方法が適合性がよいことを提案した。三軸試験の場合にはゴムスリーブの粒子への付着、その他の問題を含むが、やはり Bishop の方法がダイラタンシー効果を補正するのに妥当であると結論できる。

4-3. 摩擦強度成分 σ_R とダイラタンシーによる強度成分 $\tan \theta$

摩擦角である $\tan \theta$ 上ダイラタンシー効果の $\tan \theta$ の関係をみると、まず σ_R は側圧が増せば減少するが間げき比によつてはそり変化がない。一方 $\tan \theta$ は粒径が一定であれば間げき比の減少につれて

図-3



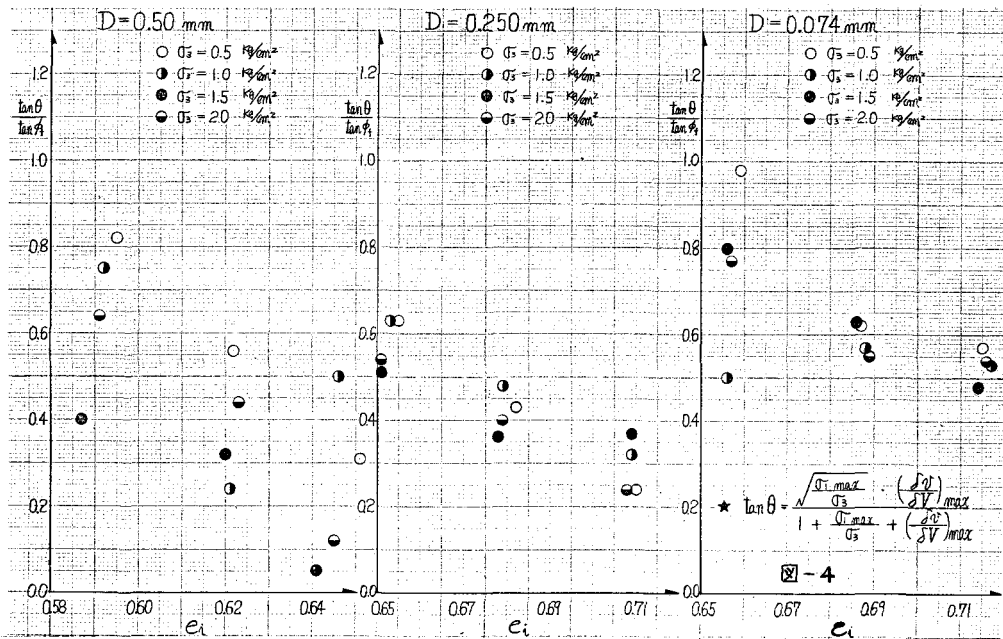


図-4

増加し、側圧についてはあまり関係がない。

すべり角に、 $\tan \theta$ が間げき比につれて変動するので、この間の関係、すなわち摩擦による強度成分と体積膨脹による強度成分との割合を定量的に検討するため $\tan \theta / \tan \phi_f$ の比をプロットしたのが図-4である。これによると間げき比の減少につれて $\tan \theta / \tan \phi_f$ の比は増加し直線的に変化する。すなわち間げき比の減少につれて体積変化による強度成分が比例して増加することになる。

結論

- 1) 同一形状、同一粒径のガラスビーズでは P-E 曲線にみられるすべり量 S と直径 D の比、 S/D は側圧に比例する。
- 2) ダイラタンシー効果の補正是 Bishop の方法が妥当である。
- 3) 間げき比の変化につれて体積変化にともづく強度成分の割合は直線的に増加する。

最後に本実験と試料の整理に協力した須藤広光君に謝意を表す。

参考文献

- 1) Bishop, A.W. 1954 Discussion on A.D.M. Penman (1953). Geotechnique, Lond., 4, no. 1, 43.
- 2) Newland, P.L. & Allely, B.H. 1957 Volume changes in drained triaxial tests on granular materials. Geotechnique, Lond., 7, no. 1, 17.
- 3) Row, P.W. "The Stress-dilatancy Relation for static Equilibrium of an Assembly of Particle Contact," Proc. Roy. Soc., 1-ondon. Vol. 269, 1962
- 4) 最上, 乾燥砂の運動機構について (I)-(IV) 土木学会誌. Vol. 28. (1942), Vol. 29. (1943)
- 5) 赤井, 砂のせん断におけるダイレタンシー効果 土木学会論文集 58号 (S.33)
- 6) 村山, 松岡, 粒状土のせん断抵抗と粒構造について 土木学会第25回年次学術講演会 (S.45)
- 7) 春山, 砂のダイレイタンシーに影響する因数について 第5回国土質工学研究発表会 (S.45)
- 8) ダイラタンシー効果の補正法の比較と若干の考察について (直接せん断の場合) (S.45)